

## 橋脚周辺河床の粗粒化について

京都大学工学部 正員 中川 博次  
 京都大学工学部 正員 館木 章一  
 京都大学大学院 学生員 ○中川 道弘

## 1. まえがき

ダム下流域や橋脚周辺部における Clear Water Scour のように上流から土砂の供給がない場合でしかも河床が混合砂礫よりなる場合、洗掘が進行し掃流力が最大粒径砂の限界掃流力よりも小さくなると河床は形態の変化のみならず砂礫の粒度構成の変化によって流れに抵抗し、同一平均粒径の均一砂の場合に比して最終的河床低下量は小さくなる。Fig.1 は円柱周辺部における洗掘後の砂の粒度分布のスケッチであるが、洗掘孔底部の粒度の粗粒化していることが認められる。本研究では、円柱周辺部における Clear Water Scour の最終洗掘深に対する混合砂礫の効果について考察するとともに、粗粒化された河床砂の粒度構成について検討する。

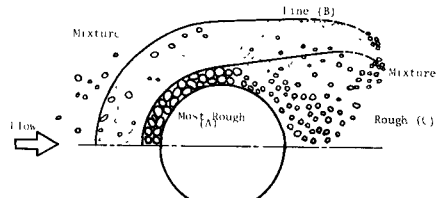


Fig. 1 円柱周辺河床の sorting 情況

## 2. 理論的考察

円柱周辺部における洗掘は、まず円柱底部周辺における流れ集中、渦渦渦流の作用により Fig.2 の斜線部において生じる。この斜線部の河床低下の域その外側の領域はほぼ砂と水中安息角 $\phi$ の値をもつた斜面を形成する。また、実験的に斜線部の中には主に円柱径によって決まり流れにはほとんどよらないことかわかつていい。いま、円柱側面の  $1/2 \leq y/D \leq (k_1 + 1/2)$  ( $k_1 D$ ) における掃流力に対して砂の移動が停止する条件から最終洗掘深を求める。 $k_1 D$  は流れ流量は洗掘後も円柱側面の  $k_1 D$  に対応したボテンシャル流線から求まる上流側中和点通過する流量に等しいと仮定し、洗掘深  $Z_s$  を考慮して  $k_1 D$  の平均流速  $\bar{U}_s$  を計算する。すなわち、Fig.2 を参照して、 $Z_s = 0$  のときは、

$$U_0 y_0 = \int_{y_0}^{(k_1 + 1/2)D} U_0 \left( 1 + \frac{(D/2)^2}{y^2} \right) dy \quad \therefore y_0 = D \left( k_1 + \frac{1}{2} - \frac{1}{4(k_1 + 1/2)} \right) \quad \dots \dots \dots (1)$$

であり、洗掘が進行しない状態（洗掘深  $Z_s$ ）では、

$$U_0 y_0 h_0 = \int_{y_0}^{(k_1 + 1/2)D} U \left( h_0 + Z_s \right) dy, \quad \text{ただし}, \quad U = U_0 \left( 1 + \frac{(D/2)^2}{y^2} \right) \quad \dots \dots \dots (2)$$

である。 $k_1 D$  の平均流速  $\bar{U}$  は (2) より、

$$\bar{U} = \frac{1}{k_1 D} \int_{y_0}^{(k_1 + 1/2)D} U dy = \frac{y_0 U_0 h_0}{k_1 D (h_0 + Z_s)} \quad \dots \dots \dots (3)$$

ところで、 $\bar{U}/U_0 = y_0$  とすると、 $\bar{U} = U_0 (\bar{U}/U_0)^2$  が用いられる。掃流力を計算する。流速係数 $\gamma_1$  については、河床形態によく大きく変化することから、(3) が、円柱側面の洗掘孔内ごとのよじは直をとるかは明確ではない。荷重 $\gamma_1$  における洗掘が進む程度は、 $\bar{U}$  には

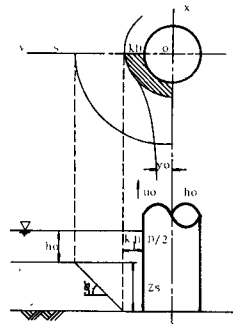


Fig. 2 記号図

は 8~10 の値をとることが報告されている。なお、 $R_1$  は実験的には 1.17 から 2.25 の間で、 $\alpha = 20 \sim 30^\circ$  の範囲では挿流力が弱い混合流と等しい場合、沈降速度が最終沈降速度と等しいと考えられる。混合砂の混界面挿流は、(2) は 徒案、同一砂には  $\alpha = 20^\circ$  と  $30^\circ$  の間で  $R_1$  は 4~9 の範囲がある。しかし、混界面の意義的研究者によると、異種粒子の混合時、各提案式で求めた混界面挿流は必ずしも間違つてゐない。差がある。すなはち、有効粒径  $d_{eq}$  が停止し粗粒化が生じる境界といふ意味で、 $R_1 = 2.5$  と 2.9 の挿流率を用ひながら、本問題に対するのは適当である。ここで、 $\bar{F}_1$  は unknown かつ  $\alpha = 20^\circ$  の残留確率で  $F_1 = 1 - d_{max}/d_{min}$  と定められ、混合砂の最大最小粒径とする。

$$\overline{g} = \frac{\int_{\min}^{\max} g^2 f_0 d\omega}{\int_{\min}^{\max} f_0 d\omega} \quad \text{if } \int_{\min}^{\max} f_0 d\omega < 1 = \frac{1}{\sqrt{2\pi}} \int_{-\infty}^{(\max - \min)/2} \exp(-\frac{x^2}{2}) dx. \quad (4)$$

である。この場合、 $P_0$ は挖掘前の混合砂の粒度曲線 ( $\phi$ に対する密度  $\rho$ を用いて) が、 $2\phi$ は河床低下が停止してから粗粒化が始まるところである。它是各粒径の砂に対する Shields の曲線から求められる浸漬拡流れてある。挖掘深を仮定し、(3)式で求めたことを用いて計算し、 $\bar{\phi} = 0.5 \sim 1.23$  で試行錯誤によって求める。つまり、このとおり armour coat として流出砂の粒径が河床低下よりは大きくなるようである。<sup>2)</sup>

$$P_A = \int_{\text{dmin}}^{\text{di}} g_i P_0 di / \int_{\text{dmin}}^{\text{dmax}} g_i P_0 di, \quad P_C = \int_{\text{dmin}}^{\text{di}} (1-g_i) P_0 di / \int_{\text{dmin}}^{\text{dmax}} (1-g_i) P_0 di \quad \dots \quad (5)$$

### 3. 実験的考察

Table-1 に示す条件で実験を行は、た結果、最終洗滌率  $S_{sf}$  については、Fig.3 の黒丸で示す通り理論値と実験値とは比較的よい一致を示した。しかし、白丸は別の実験の均一砂に対するものであるが、混合砂と異なり、この一砂 $2$ は実験 $2$ の  $S_{sf}$  は明確でなく、少しずつではあるが、一砂 $2$ も洗滌された。最終状態、2つつの固相の2の連続性については、河床砂混雑の組合せによっては検討してつかない限りである。

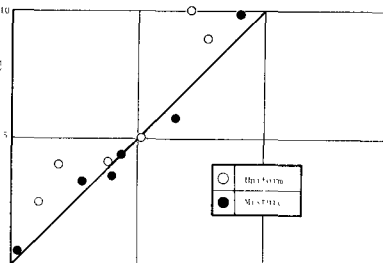
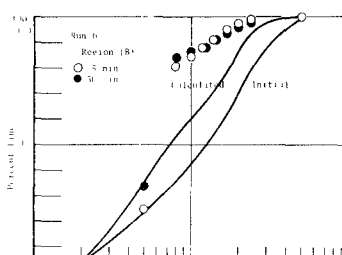


Fig. 3. 星空涉水潭之計量及之理論(有)



$$\overline{F}_1 = \overline{F}_2 \cap \{ \overline{f} \in \overline{F}_2 : f_1(\overline{x}) = f_2(\overline{x}) \}$$

Table-1 实验条件

Run No	D(m)	t	h(m) (s)	w, m²/s	Sand		
					dS(m)	VR42/T16	
1	20	1/1000	12.0	21.1	A 0.10	1.43	
2					B 0.12	1.54	
3					C 0.12	2.77	
4		10.0	55.3		A 0.10	1.15	
5					B 0.12	1.54	
6					C 0.12	2.77	
7		8.0	41.7		A 0.10	1.43	
8					B 0.12	1.54	
9					C 0.12	2.77	
10		10.0	55.3		D 0.10	1.61	
11					E 0.10	1.61	

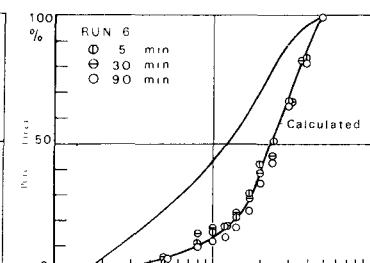
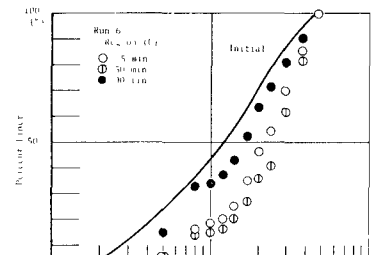


Fig. 4. Armour Coat a 種加電線



$\sigma_{\text{obs}} = \sqrt{\sigma_{\text{stat}}^2 + \sigma_{\text{syst}}^2}$

(参考文献) 1) 奇廉, 浦, 华田: 河流床冲积带, 山地学工程部研究报告第20卷, 1958, AB. 9 pp. 85-90  
2) Gessler, J.: Self-stabilizing tendencies of alluvial channels, Ira 1926, WW2 May 1972, pp. 37-47